

Рис. 6.

(<0.1 с), а также осуществлять качественный анализ спектрального состава их шумов. Полученные гистограммы распределений $St(x)$ и $W_f(\omega)$ позволяют определить все необходимые параметры исследуемых процессов.

ЛИТЕРАТУРА

1. Е. И. Рехин, А. А. Курашов, П. С. Чернов. Измерение интервалов времени в экспериментальной физике. М., Атомиздат, 1967.
2. Л. А. Моругин, Г. В. Глебович. Наносекундная импульсная техника. М., «Советское радио», 1964.
3. Аппаратура для частотных и временных измерений. Под ред. А. П. Горшкова. М., «Советское радио», 1971.
4. Л. А. Маталин, И. С. Нараи, С. И. Чубаров. Методы регистрации и обработки данных в ядерной физике и технике. М., Госатомиздат, 1963.
5. И. С. Гибин, А. Г. Козачок, Е. С. Нежевенко, Ю. Н. Солодкин, П. Е. Твердохлеб, Ю. В. Чугуй. Анализ спектров однополярных сигналов оптическими методами.— Автометрия, 1971, № 1.
6. И. А. Малевич, А. Ф. Чернявский. Реализация комбинированного метода анализа временных интервалов на основе верньерной техники.— Приборы и техника эксперимента, 1971, № 6.
7. С. М. Дмитриев, И. А. Малевич, А. Ф. Чернявский. Аналогово-цифровая система перестройки и стабилизации частоты.— Приборы и техника эксперимента, 1971, № 2.
8. И. А. Малевич, А. Ф. Чернявский. Синхронизация импульсного генератора с задержанной обратной связью на частоте 1 ГГц.— Приборы и техника эксперимента, 1971, № 5.

Поступила в редакцию 2 апреля 1973 г.

УДК 681.325.3

Э. А. ОПАЛЕВА, В. Б. СМОЛОВ, В. С. ФОМИЧЕВ
(Ленинград)

ОБ ОДНОМ МЕТОДЕ ПОСТРОЕНИЯ КУСОЧНО-ЛИНЕЙНЫХ ПРЕОБРАЗОВАТЕЛЕЙ КОДА В НАПРЯЖЕНИЕ

Функциональные преобразователи кода в напряжение (ФПКН) используются в системах централизованного контроля и сбора данных, в измерительной технике и в качестве нелинейных блоков комбиниро-

ванных вычислительных устройств. Построение ФПКН основано на моделировании аналитических выражений, определяющих заданную функцию $F(X)$, либо выражений, аппроксимирующих функцию $F(X)$ с заданной степенью точности. При проектировании ФПКН применяют ступенчатую, полиномиальную или дробно-рациональную аппроксимацию исходной зависимости. На практике чаще всего используется кусочно-линейная аппроксимация, поскольку для ряда функций моделирование аппроксимирующего выражения в этом случае приводит к наиболее простым схемным решениям.

В литературе описано несколько схем кусочно-линейных аппроксиматоров [1, 2, 3]. Однако все эти схемы предназначены для воспроизведения ограниченного класса функций. Перестройка подобных схем на воспроизведение другой или той же самой функции, но с иной точностью связана с изменением почти всех параметров и структуры схемы. В настоящей работе предлагается универсальная схема ФПКН, использующая кусочно-линейную аппроксимацию, которая пригодна для воспроизведения любых кусочно-непрерывных функций, имеющих на интервале задания конечное число экстремумов и точек разрыва первого рода, и допускает перестройку схемы путем смены отдельных блоков.

При кусочно-линейной аппроксимации заданная функция $F(X)$ на всем интервале задания аргумента $[X_n, X_k]$ разбивается на s участков и на каждом участке заменяется отрезком прямой линии. Аппроксимирующая ломаная может быть представлена в виде

$$G(x) = \sum_{i=1}^s \varphi_i(\tilde{x}) (A_{0i} + A_{1i}x), \quad (1)$$

где A_{0i} , A_{1i} — коэффициенты аппроксимирующей линии на j -м участке; x — десятичный номер точки на оси аргумента, соответствующий двоичному коду \tilde{x} ; $\varphi_i(\tilde{x})$ — переключательные функции, равные единице на участке с номером j и нулю на всех остальных участках. Десятичный номер точки x и аргумент функции X связаны следующим соотношением: $X = X_n + xh$, где $h = \frac{X_k - X_n}{2^n - 1}$ — шаг изменения аргумента, n — число двоичных разрядов кода \tilde{x} .

Анализ выражения (1) показывает, что схема кусочно-линейного аппроксиматора должна содержать блоки для выполнения следующих операций: запоминание постоянных коэффициентов A_{0j} и A_{1j} , выбор коэффициентов A_{0j} и A_{1j} , соответствующих участку аппроксимации с номером j , умножение аргумента x на постоянный коэффициент A_{1j} и сложение.

Коэффициенты аппроксимирующей ломаной в выражении (1) на отдельных участках могут быть как положительными, так и отрицательными. Реализация знакопеременных коэффициентов, как правило, связана с дополнительными трудностями. Для того чтобы в аппроксимирующей зависимости все коэффициенты A_{0j} были положительными, выделим постоянную составляющую функции $F(X)$. В случае кусочно-линейной аппроксимации постоянная составляющая функции равна $A_{0\min} = \min_j \{A_{0j}\}$. Учитывая, что переключательные функции $\varphi_i(\tilde{x})$ являются ортогональными, т. е. на участке с номером j только одна переключательная функция равна единице, вынесем постоянную составляющую $A_{0\min}$ за знак суммирования. Тогда выражение (1) преобразуется к виду

$$G(x) = A_{0\min} + \sum_{i=1}^s \varphi_i(\tilde{x}) (A_{0i} - A_{0\min}) + \sum_{i=1}^s \varphi_i(\tilde{x}) A_{1i}x. \quad (2)$$

Это преобразование равносильно добавлению дополнительного входа в суммирующем блоке преобразователя, причем в схеме необходимо предусмотреть, что значение $A_{0\min}$ может быть положительным или отрицательным в зависимости от конкретного вида функций $F(X)$. Следует отметить, что выделение постоянной составляющей $A_{0\min} > 0$ также является целесообразным, поскольку в этом случае уменьшается диапазон значений коэффициентов A_{0j} , что в конечном счете приводит к увеличению точности задания этих коэффициентов.

Для получения отрицательного приращения функции, соответствующего коэффициентам $A_{1j} < 0$, разобьем вторую сумму в выражении (2) на две части. В первую часть включим s_1 членов, у которых $A_{1j} \geq 0$, а во вторую — s_2 членов с отрицательными коэффициентами A_{1j} , при этом $s_1 + s_2 = s$. Тогда выражение (2) примет вид

$$G(x) = A_{0\min} + \sum_{j=1}^s \varphi_j(\tilde{x}) (A_{0j} - A_{0\min}) + \sum_{j=1}^{s_1} \varphi_j(\tilde{x}) A_{1j}x - \sum_{j=1}^{s_2} \varphi_j(\tilde{x}) |A_{1j}|x. \quad (3)$$

Для того чтобы избавиться от знака минус перед последним членом в выражении (3), выполним для тех участков, где $A_{1j} < 0$, преобразование прямого кода аргумента в обратный. Такое преобразование обеспечивает изменение знака углового коэффициента воспроизводимой линии. Десятичный номер точки x_0 , соответствующий обратному коду аргумента, связан с десятичным номером точки x следующим соотношением:

$$x = x_{\max} - x_0, \quad (4)$$

где x_{\max} — десятичный эквивалент максимального двоичного кода. С учетом соотношения (4) выражение (3) преобразуется к виду

$$\begin{aligned} G(x) = A_{0\min} + \sum_{j=1}^s \varphi_j(\tilde{x}) (A_{0j} - A_{0\min}) + \sum_{j=1}^{s_1} \varphi_j(\tilde{x}) A_{1j}x - \\ - \sum_{j=1}^{s_2} \varphi_j(\tilde{x}) |A_{1j}|(x_{\max} - x_0). \end{aligned} \quad (5)$$

Введем переключательную функцию $\psi(\tilde{x})$, равную единице на участках, где $A_{1j} < 0$, и нулю на остальных участках, и преобразуем выражение (5) к такому виду, чтобы последние два члена были пропорциональны только значению аргумента в прямом или обратном коде. Тогда получим следующую аппроксимирующую зависимость:

$$\begin{aligned} G(x) = A_{0\min} + \sum_{j=1}^s \varphi_j(\tilde{x}) [A_{0j} - A_{0\min} - \psi(\tilde{x}) |A_{1j}| x_{\max}] + \\ + \sum_{j=1}^{s_1} \varphi_j(\tilde{x}) A_{1j}x + \sum_{j=1}^{s_2} \varphi_j(\tilde{x}) |A_{1j}| x_0, \end{aligned} \quad (6)$$

для реализации которой схему преобразователя необходимо дополнить блоком, осуществляющим передачу входного аргумента в прямом или обратном коде, и устройством анализа знака коэффициентов A_{1j} , работа которого описывается переключательной функцией $\psi(\tilde{x})$. Напомним, что для каждого участка аппроксимации есть своя переключательная функция $\varphi_j(\tilde{x}) = 1$, в результате чего в образовании аппроксимирующей ломаной участвует только произведение $A_{1j}x$ или $|A_{1j}|x_0$.

Сложность схемы кусочно-линейного ФПКН и масштаб выходного напряжения существенно зависят от способа разбиения на участки отрезка, на котором задана функция $F(X)$. Такое разбиение должно обладать следующими свойствами: обеспечивать число участков аппроксимации, близкое к минимальному, которое получается, например, при чебышевской аппроксимации, допускать простую схемную реализацию определения границ участков аппроксимации и использовать приращения аргумента на каждом участке.

Перечисленными свойствами обладает разбиение аргумента на участки, длины которых относятся как целые степени числа два. В качестве примера подобного разбиения можно привести следующий: первый участок аппроксимации содержит 2^5 точек, второй — 2^4 , а третий и четвертый — 2^3 точек. Описанное разбиение аргумента функции на участки позволяет для каждого участка аппроксимации j разбить преобразуемый код \tilde{x} на две части $\tilde{x} = \{\tilde{x}_{1j}, \tilde{x}_{2j}\}$. При этом двоичный код $\tilde{x}_{1j} = (x_1, x_2, \dots, x_{l_j})$ определяет номер участка аппроксимации, а код $\tilde{x}_{2j} = (x_{l_j+1}, x_{l_j+2}, \dots, x_n)$ оказывается пропорциональным приращению аргумента на участке. С учетом данного разбиения аппроксимирующая зависимость примет следующий вид:

$$G(x) = a_{0\min} + \sum_{j=1}^{s_1} \varphi_j(\tilde{x}_{1j}) [a_{0j} - a_{0\min} - \psi(\tilde{x}_{1j}) |a_{1j}| x_{2\max_j}] + \\ + \sum_{j=1}^{s_1} \varphi_j(\tilde{x}_{1j}) a_{1j} x_{2j} + \sum_{j=1}^{s_2} \varphi_j(\tilde{x}_{1j}) |a_{1j}| x_{20_j}, \quad (7)$$

где $a_{0\min}$, a_{0j} и a_{1j} — коэффициенты аппроксимирующей ломаной, полученные при условии, что аргументом аппроксимирующей зависимости является десятичный эквивалент двоичного кода \tilde{x}_{2j} .

Структурная схема универсального кусочно-линейного ФПКН, моделирующего выражение (7), приведена на рис. 1. Двоичный код аргумента \tilde{x} поступает на вход регистра, который служит для приема и хранения входной информации. Старшие разряды этого кода управляют дешифратором номера участка Дш, работа которого описывается системой переключательных функций $\{\varphi_j(\tilde{x}_{1j})\}$, а младшие разряды с помощью блока передачи кода (БПК) в прямом или обратном коде в зависимости от входного сигнала блока знака (БЗ) передаются на уп-

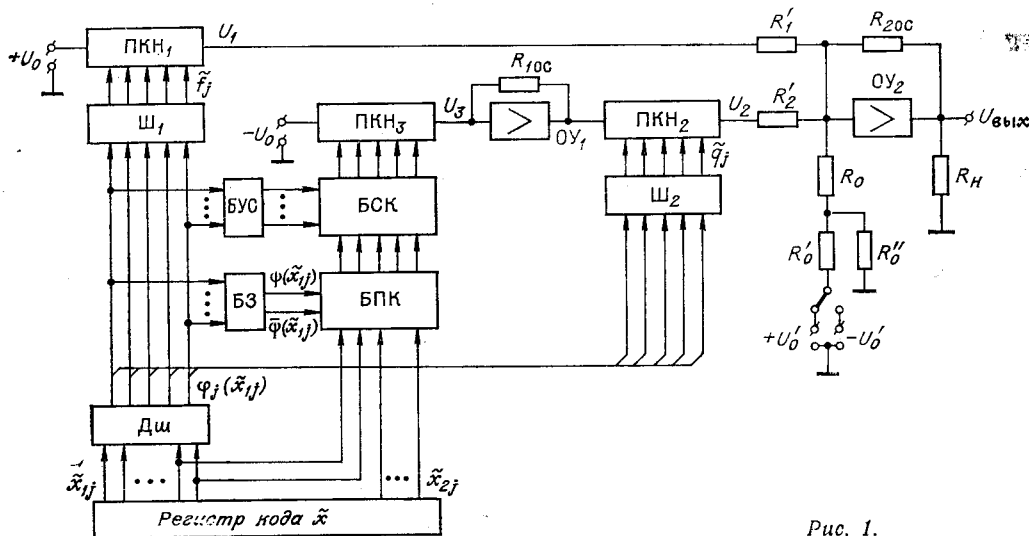


Рис. 1.

равление разрядными сопротивлениями линейного преобразователя кода в напряжение ПКН₃. При этом часть разрядов входного кода поступает как на Дш, так и на управление ПКН₃, что объясняется различной длиной участков аппроксимации. ПКН₃ осуществляет преобразование приращения аргумента на участке в аналоговую форму. Хранение коэффициентов a_{0j} и a_{1j} производится в цифровой форме с помощью шифраторов Ш₁ и Ш₂, которые вырабатывают двоичные коды \tilde{f}_j и \tilde{q}_j , пропорциональные этим коэффициентам. Преобразование двоичных кодов \tilde{f}_j и \tilde{q}_j в аналоговую форму выполняется на ПКН₁ и ПКН₂. В качестве линейных ПКН используются резистивные сетки $R-2R$ с двухпозиционными ключами. Произведение $a_{1j}x_{2j}$ или $|a_{1j}|x_{20j}$ моделируется путем каскадного включения ПКН₃ и ПКН₂ через операционный усилитель ОУ₁, основным назначением которого является согласование постоянного выходного сопротивления ПКН₃ с переменным входным сопротивлением ПКН₂. Выходное напряжение ПКН₂ суммируется на операционном усилителе ОУ₂ с выходными напряжениями ПКН₁ и источника V'_0 , который включен в схему для воспроизведения постоянной составляющей функции. Резисторы $R_1, R_2, R_0, R'_0, R''_0$ служат для согласования масштабов этих напряжений.

Выходное напряжение ПКН является линейной функцией двоичного кода. Выберем число разрядов m ПКН₃ равным числу разрядов двоичного кода \tilde{x}_{2j} на участке наибольшей длины. Поскольку длины участков аппроксимации при выбранном способе разбиения относятся друг к другу как целые степени числа два, то на коротких участках, которые содержат меньше чем 2^m точек, старшие разряды ПКН₃ оказываются неиспользованными. Пусть участок с номером j состоит из 2^{k_j} точек, причем $k_j < m$. Тогда в этом случае выходное напряжение ПКН₃ меньше максимального V_0 , которое имеет место при двоичном коде $2^m - 1$, в $(2^{k_j} - 1)/(2^m - 1)$ раз. Величина масштаба выходного напряжения m_f определяется из условия передачи на выход схемы максимального напряжения для участка с наибольшим значением $|a_{1j}|$. Такой участок является обычно самым коротким, и соответствующее этому участку напряжение на выходе ПКН₃ оказывается меньше величины $V_{3\max}$. Увеличение выходного напряжения ПКН₃ для коротких участков достигается в описываемой схеме за счет сдвига кода \tilde{x}_{2j} в сторону старших неиспользованных разрядов на такое количество разрядов, во сколько раз длина данного участка меньше максимальной.

Максимальное выходное напряжение ПКН₃ на участке с номером j в этом случае определяется по формуле

$$V_{3\max j} = V_0 \frac{2^m - 2^{m-k_j}}{2^m - 1}.$$

Сдвиг кода, управляющего разрядными сопротивлениями ПКН₃, осуществляется в схеме блоком сдвига кода (БСК). Управление величиной сдвига производится в схеме выходным сигналом блока управления сдвигом (БУС), который представляет собой набор схем, реализующих операции дизъ-

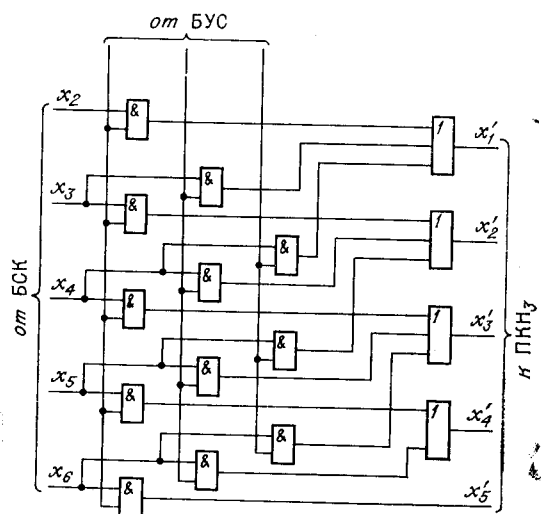


Рис. 2.

юнкции выходных сигналов Дш, соответствующих участкам одинаковой длины. Функциональная схема БСК, иллюстрирующая сдвиг младших четырех разрядов кода на 2 и 1 разряд для приведенного выше примера разбиения аргумента, представлена на рис. 2.

Покажем, что выходное напряжение схемы ФПКН, приведенной на рис. 1, моделирует зависимость (7). Выходное напряжение ПКН₃ на участке с номером j определяется по формуле

$$V_{3j} = -V_0 \frac{2^{m-k_j}}{2^m - 1} [\bar{\psi}(\tilde{x}_{1j}) x_{2j} + \psi(\tilde{x}_{1j}) x_{20_j}],$$

Тогда при условии, что ОУ₁ обладает идеальными характеристиками развязывающего элемента ($R_{\text{выхOY}_1} = \infty$, $R_{\text{выхOY}_1} = 0$, $K_{\text{OY}_1} = -1$), напряжение на выходе ПКН₂ для j -го участка имеет вид

$$V_{2j} = V_0 \frac{2^{m-k_j}}{2^m - 1} \frac{q_j}{2^t - 1} [\bar{\psi}(\tilde{x}_{1j}) x_{2j} + \psi(\tilde{x}_{1j}) x_{20_j}], \quad (8)$$

где t — число двоичных разрядов ПКН₂. Выходное напряжение ПКН₁ на участке с номером j определяется двоичным кодом \tilde{f}_j , поступающим на его входы, и равно

$$V_{1j} = V_0 \frac{\tilde{f}_j}{2^p - 1}, \quad (9)$$

где p — число двоичных разрядов ПКН₁. В выражениях (8) и (9) \tilde{f}_j и q_j — десятичные эквиваленты, соответствующие кодам \tilde{f}_j и \tilde{q}_j .

Считая, что ОУ₂ является идеальным суммирующим усилителем, можно написать выражение для выходного напряжения схемы:

$$\begin{aligned} V_{\text{вых}} = & V'_0 \frac{R_{20c}}{R_{03}} + V_0 \sum_{j=1}^{s_1} \varphi_j(\tilde{x}_{1j}) \frac{\tilde{f}_j}{2^p - 1} \frac{R_{20c}}{R_1 + R'_1} + \\ & + V_0 \sum_{j=1}^{s_1} \varphi_j(\tilde{x}_{1j}) \frac{2^{m-k_j}}{2^m - 1} \frac{q_j}{2^t - 1} \frac{R_{20c}}{R_2 + R'_2} x_{2j} + \\ & + V_0 \sum_{j=1}^{s_2} \varphi_j(\tilde{x}_{1j}) \frac{2^{m-k_j}}{2^m - 1} \frac{q_j}{2^t - 1} \frac{R_{20c}}{R_2 + R'_2} x_{20_j}, \end{aligned} \quad (10)$$

где R_1 — выходное сопротивление ПКН₁; R_2 — выходное сопротивление ПКН₂; R_{03} — эквивалентное сопротивление цепи делителя напряжения, образованного резисторами R_0 , R'_0 и R_{0c} ; R_{20c} — сопротивление обратной связи ОУ₂, причем при суммировании выходных напряжений ПКН₃ производится разбиение членов, подлежащих суммированию, на две части по соображениям, выдвинутым при получении соотношения (3).

Подставив в выражение (10) значение масштаба схемы, вычисленное по формуле

$$m_F = \frac{|F(X)_{\max}|}{|V_{\text{вых max}}|}, \quad (11)$$

и приравняв между собой коэффициенты при одинаковых членах зависимостей (7) и (10), полагая, что $x_{2\max_j} = 2^{k_j} - 1$, получим для каж-

дого участка аппроксимации следующую систему уравнений:

$$\begin{cases} a_{0\min} = m_F V_0 \frac{R_{20c}}{R_{03}}; \\ a_{0j} - a_{0\min} + \psi(\tilde{x}_{1j}) a_{1j} (2^{k_j} - 1) = m_F V_0 \frac{f_j}{2^p - 1} \frac{R_{20c}}{R_1 + R_1'}; \\ |a_{1j}| = m_F V_0 \frac{2^{m-k_j}}{2^m - 1} \frac{q_j}{2^t - 1} \frac{R_{20c}}{R_2 + R_2'}. \end{cases} \quad (12)$$

Решая систему (12) при условии, что одно из сопротивлений R_1' (R_2') равно нулю, можно получить величины сопротивлений резисторов R_2' (R_1'), R_{20c} и R_{03} .

Число разрядов ПКН₁ и ПКН₂ определяется исходя из допустимой относительной погрешности преобразователя δ_d за счет дискретности задания коэффициентов a_{0j} и a_{1j} , на участках, где выходные напряжения ПКН₁ и ПКН₂ имеют максимальные значения V_0 и $V_{3\max}$ соответственно,

$$p = \left\lceil \log_2 \left(\frac{V_0}{\delta_d V_{\text{вых max}}} \frac{R_{20c}}{R_1 + R_1'} \right) \right\rceil; \quad (13)$$

$$t = \left\lceil \log_2 \left(\frac{V_0 \frac{2^m - 2^{m-k_j}}{2^m - 1}}{\delta_d V_{\text{вых max}}} \frac{R_{20c}}{R_2 + R_2'} \right) \right\rceil. \quad (14)$$

Здесь $\lceil a \rceil$ — операция определения ближайшего целого числа, не меньшего, чем a . Десятичные эквиваленты f_j и q_j находятся из условия максимального использования напряжений источников питания ПКН₁ и ПКН₂, которое заключается в том, что максимальным по модулю значениям коэффициентов должны соответствовать максимальные значения двоичных кодов ПКН₁ и ПКН₂, и условия равенства масштабов выходных напряжений этих ПКН на всех участках аппроксимации. Формулы для определения f_j и q_j имеют вид

$$f_j = \left\lceil \frac{a_{0j} - a_{0\min} + \psi(\tilde{x}_{1j}) a_{1j} (2^{k_j} - 1)}{a_{0\max} - a_{0\min}} (2^p - 1) \right\rceil; \quad (15)$$

$$q_j = \left\lceil \frac{|a_{1j}|}{|a_{1\max}|} (2^t - 1) \right\rceil. \quad (16)$$

Исходными данными для расчета параметров схемы кусочно-линейного ФПКН являются: максимальная относительная погрешность преобразования δ ; максимальное значение функции $F(X)_{\max}$; число разрядов двоичного кода аргумента n ; коэффициенты аппроксимирующей ломаной, полученные при условии разбиения аргумента функции на отрезки, длины которых относятся как целые степени числа два (в частном случае длина отрезков может быть одинаковой); максимальное выходное напряжение схемы $V_{\text{вых max}}$; ограничения, накладываемые на величины номинальных значений элементов схемы, например, могут быть заданы величины максимального R_{\max} и минимального R_{\min} сопротивлений, которые могут использоваться исходя из условий технологии изготовления схемы ФПКН; предельные значения $[R_{oc\min}, R_{oc\max}]$ сопротивлений, рекомендованных для использования в цепи обратной связи операционного усилителя выбранного типа и т. д.

Расчет параметров схемы рекомендуется производить в следующем порядке.

1. Определяется масштаб схемы по формуле (11).

2. Производится выбор абсолютных значений номинальных напряжений эталонных источников V_0 и V_0' с учетом ограничений по мощности рассеивания резистивных сеток $R-2R$, используемых для построения ПКН₁, ПКН₂, ПКН₃.

3. Из условия получения минимальной погрешности преобразователя за счет неидеальности ключей, а также исходя из ограничений, накладываемых технологией изготовления резистивных сеток $R-2R$, выбираются величины сопротивлений R_1 , R_2 и R_3 .

4. Определяется величина R_{loc} , исходя из условия $K_{oy_1} = -1$.

5. Определяется число разрядов ПКН₃.

6. Выбирается полярность эталонного источника V_0' в зависимости от знака постоянной составляющей a_{0min} .

7. Из системы уравнений (12) при условии, что $R_1' = 0$, определяется величина сопротивления R_{2oc} на участке, где $a_{0j} = a_{0max}$, и сопротивление R_2' на участке, где $|a_{1j}| = |a_{1max}|$:

$$R_{2oc} = \frac{a_{0max} - a_{0min} + \psi(\tilde{x}_{1j}) a_1^* \left(2^{k_0^*} - 1\right)}{m_F V_0} R_1, \quad (17)$$

$$R_2' = \frac{V_0 \frac{2^m - 2^{m-k_1^*}}{2^m - 1} R_{2oc}}{\frac{1}{m_F} [a_0^* - a_{0min} + \psi(\tilde{x}_{1j}) a_{1max}^* \left(2^{k_1^*} - 1\right)] - V_0 \frac{a_0^* - a_{0min}}{a_{0max} - a_{0min}} \frac{R_{2oc}}{R_1}} - R_2. \quad (18)$$

В этих выражениях a_1^* и k_1^* — соответственно коэффициент a_{1j} и число разрядов кода \tilde{x}_{2j} на участке, где $a_{0j} = a_{0max}$, а a_0^* и k_0^* — коэффициент a_{0j} и число разрядов кода \tilde{x}_{2j} на участке, где $|a_{1j}| = a_{1max}$. Если в результате расчета оказывается, что полученное значение $R_{2oc} > R_{ocmax}$, то следует уменьшить величину R_1 . В случае $R_{2oc} < R_{ocmin}$ необходимо принять, что $R_1' \neq 0$. Если в результате расчета получается, что $R_2' < 0$ то принимается $R_2' = 0$ и определяются величины сопротивлений резисторов R_{2oc} и R_1' по следующим формулам:

$$R_{2oc} = \frac{a_{1max}^* \left(2^{k_1^*} - 1\right)}{m_F V_0 \left(\frac{2^m - 2^{m-k_1^*}}{2^m - 1}\right)} R_2, \quad (19)$$

$$R_1' = \frac{V_0 m_F}{a_{0max} - a_{0min} + \psi(\tilde{x}_{1j}) a_1^* \left(2^{k_0^*} - 1\right)} - R_1. \quad (20)$$

8. Определяется величина эквивалентного сопротивления цепи делителя напряжения, образованного резисторами R_0 , R_0' и R_0'' :

$$R_{03} = \frac{V_0' m_F R_{2oc}}{a_{0min}}. \quad (21)$$

Если полученное значение $R_{03} \leq R_{max}$, то $R_0 = R_{03}$, а резисторы R_0' и R_0'' в схеме отсутствуют. В противном случае

$$R_0 = R_{max}, \quad (22)$$

$$R_0' = R_{min}, \quad (23)$$

$$\text{а } R_0' = \left(\frac{R_{03}}{R_0} - 1\right) \frac{R_0 R_0''}{R_0 + R_0''}. \quad (24)$$

9. Определяется число разрядов ПКН₁ и ПКН₂ по формулам (13) и (14).

10. Определяются десятичные эквиваленты двоичных кодов \tilde{f}_j и \tilde{q}_j по формулам (15) и (16).

11. Составляются переключательные функции, описывающие работу Дш и БЗ.

Следует отметить, что определение параметров схемы согласно приведенному алгоритму расчета является довольно трудоемкой задачей и, на наш взгляд, должно выполняться с помощью ЦВМ. Описанный алгоритм расчета был реализован в виде программы на АЛГОЛе, которая была использована для расчета параметров схем ФПКН для 20 различных кусочно-непрерывных функций.

Одним из достоинств предложенной схемы является то, что она целиком может быть построена из стандартных элементов, рекомендованных для применения в устройствах цифровой и аналоговой вычислительной техники. Использование в качестве шифраторов интегральных матриц, в которых конкретные значения кодов \tilde{f}_j и \tilde{q}_j могут быть записаны с помощью специальных масок соединений [4], позволяет получать компактные надежные схемы преобразователей. Данная схема может быть также использована для воспроизведения нескольких функций. В этом случае вместо шифраторов Ш₁ и Ш₂ целесообразно применить сменные постоянные запоминающие устройства (ПЗУ). В качестве сменных ПЗУ можно, например, взять емкостные ПЗУ с прямой выборкой чисел, выполненные на металлизированных перфокартах [4]. При работе ФПКН совместно с ЦВМ для хранения кодов \tilde{f}_j и \tilde{q}_j может быть использовано ПЗУ этой машины. Тогда схема преобразователя значительно упрощается за счет замены Ш₁ и Ш₂ регистрами для хранения кодов \tilde{f}_j и \tilde{q}_j .

ВЫВОДЫ

Рассмотренная схема кусочно-линейного преобразователя кода в напряжение может быть использована в современных цифровых контрольно-измерительных и управляющих системах для воспроизведения любых кусочно-непрерывных функций, имеющих на интервале задания конечное число экстремумов и точек разрыва первого рода. Применение отдельных сменных блоков позволяет использовать данную схему преобразователя в качестве универсального ФПКН. Использование в схеме преобразователя типовых интегральных элементов аналоговой и цифровой вычислительной техники дает возможность применить для построения принципиальной схемы ФПКН интегральную и гибридную технологию, что в значительной мере увеличивает надежность работы устройства и снижает его габаритно-весовые и энергетические показатели.

ЛИТЕРАТУРА

1. В. Б. Смолов. Вычислительные преобразователи с цифровыми управляемыми сопротивлениями. М.—Л., «Энергия», 1961.
2. В. Б. Смолов. Универсальные кодирующие преобразователи для автоматических измерительных систем.— Измерительная техника 1961, № 11.
3. Ю. И. Семко, Ю. С. Солодов, М. И. Левин. Функциональный аналого-цифровой преобразователь для датчиков переменного тока систем обогащающего контроля.— Измерительная техника, 1961, № 11.
4. Г. Булей. Микропрограммирование. Перевод с франц. М., «Мир», 1973.

Поступила в редакцию 17 декабря 1973 г.